

# Traitement du signal et Apprentissage profond ; applications industrielles

Thomas COURTAT

[thomas.courtat@thalesgroup.com](mailto:thomas.courtat@thalesgroup.com)

Master MVA 2023



# Antennes et radars

# Antenne radioélectrique

Dispositif physique qui transforme un courant ou une tension en un champs électromagnétique ( $\vec{e}(x, t)$ ,  $\vec{b}(x, t)$ ,  $x$  la position,  $t$  le temps.)

# Antenne radioélectrique

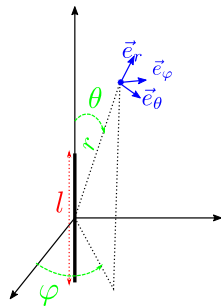
Dispositif physique qui transforme un courant ou une tension en un champs électromagnétique ( $\vec{e}(x, t)$ ,  $\vec{b}(x, t)$ ,  $x$  la position,  $t$  le temps.)

Exemple: doublet élémentaire, pour  
 $r \gg l \gg \lambda = \frac{c}{f}$  alimenté par  $I(t) = I_0 \cos 2\pi f t$

$$\vec{e}(r, \theta) = \Re \left( \frac{-i}{2\epsilon c} \frac{l \sin \theta}{r} I_0 e^{2\pi i (ft - \frac{r}{\lambda})} \right) \vec{e}_\theta$$

et  $\vec{b}(r, \theta) = \frac{1}{c} \langle \vec{e}(r, \theta), \vec{e}_\theta \rangle \vec{e}_\varphi$

- $c$  = vitesse de la lumière,
- $\epsilon$  permittivité diélectrique,
- $\mu$  = perméabilité magnétique



# Antenne radioélectrique

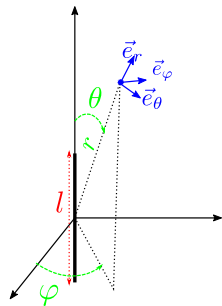
Dispositif physique qui transforme un courant ou une tension en un champs électromagnétique ( $\vec{e}(x, t)$ ,  $\vec{b}(x, t)$ ,  $x$  la position,  $t$  le temps.)

Exemple: doublet élémentaire, pour  
 $r \gg l \gg \lambda = \frac{c}{f}$  alimenté par  $I(t) = I_0 \cos 2\pi f t$

$$\vec{e}(r, \theta) = \Re \left( \frac{-i}{2\epsilon c} \frac{l \sin \theta}{r} I_0 e^{2\pi i (ft - \frac{r}{\lambda})} \right) \vec{e}_\theta$$

et  $\vec{b}(r, \theta) = \frac{1}{c} \langle \vec{e}(r, \theta), \vec{e}_\theta \rangle \vec{e}_\varphi$

- $c$  = vitesse de la lumière,
- $\epsilon$  permittivité diélectrique,
- $\mu$  = perméabilité magnétique



Réciprocité: un champs à proximité d'une antenne produit un courant sur celle-ci.

La puissance électrique alimentant l'antenne est convertie en puissance électromagnétique.

La puissance électrique alimentant l'antenne est convertie en puissance électromagnétique.

Vecteur de Poynting  $\vec{\Pi} = \frac{1}{\mu} \vec{e} \times \vec{b}$  tel que la puissance transmise à une surface  $S$  vaille  $P(S) = \int_S \vec{\Pi}(s) \vec{n}_S(s) ds$ ,  $\vec{n}_S(s)$  la normale à  $S$  en  $s$ .

La puissance électrique alimentant l'antenne est convertie en puissance électromagnétique.

Vecteur de Poynting  $\vec{\Pi} = \frac{1}{\mu} \vec{e} \times \vec{b}$  tel que la puissance transmise à une surface  $S$  vaille  $P(S) = \int_S \vec{\Pi}(s) \vec{n}_S(s) ds$ ,  $\vec{n}_S(s)$  la normale à  $S$  en  $s$ .

On se souvient des relations dans le vide  $\frac{|e|}{|b|} = c$  et  $\mu\epsilon c^2 = 1$

$$\Rightarrow |\Pi| = \epsilon c |e|^2$$



La puissance électrique alimentant l'antenne est convertie en puissance électromagnétique.

Vecteur de Poynting  $\vec{\Pi} = \frac{1}{\mu} \vec{e} \times \vec{b}$  tel que la puissance transmise à une surface  $S$  vaille  $P(S) = \int_S \vec{\Pi}(s) \vec{n}_S(s) ds$ ,  $\vec{n}_S(s)$  la normale à  $S$  en  $s$ .

On se souvient des relations dans le vide  $\frac{|e|}{|b|} = c$  et  $\mu\epsilon c^2 = 1$

$$\Rightarrow |\Pi| = \epsilon c |e|^2$$

Antenne isotrope sans perte :  $P(r, \theta, \varphi) = \frac{P_0}{4\pi r^2}$ ,  $P_0$  la puissance électrique fournie à l'antenne.

L'antenne isotrope n'est pas réalisable en pratique, c'est un point de comparaison idéal. Les antennes sont **directives**

# Diagramme de rayonnement

L'antenne isotrope n'est pas réalisable en pratique, c'est un point de comparaison idéal. Les antennes sont **directives**

$$G(r', \theta, \varphi) = \frac{\left( \frac{P(r, \theta, \varphi)}{S} \right)_{\text{Antenne étudiée alimentée par une puissance } P_0}}{\left( \frac{P(r, \theta, \varphi)}{S} \right)_{\text{Antenne isotrope alimentée par une puissance } P_0}}$$

L'antenne isotrope n'est pas réalisable en pratique, c'est un point de comparaison idéal. Les antennes sont **directives**

$$G(\theta, \varphi) = \frac{\left( \frac{P(r, \theta, \varphi)}{S} \right)_{\text{Antenne étudiée alimentée par une puissance } P_0}}{\left( \frac{P(r, \theta, \varphi)}{S} \right)_{\text{Antenne isotrope alimentée par une puissance } P_0}}$$

Exemple: doublet élémentaire:

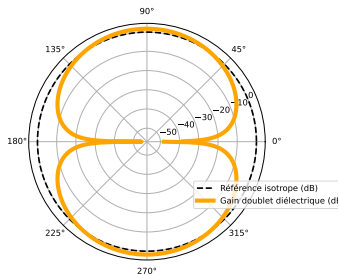
$$P(r, \theta, \varphi) = \epsilon c |\vec{e}(r, \theta, \varphi)|^2 = \frac{1}{4\epsilon c} \frac{l^2}{\lambda^2} \frac{\sin^2 \theta}{r^2} I_0^2.$$

On calcule la puissance de la source électrique en intégrant  $P$  sur la sphère de rayon  $r$   $\mathcal{S}_r$ :  $P_0 = \int_{\mathcal{S}_r} P(s) ds = \int_{\varphi=0}^{2\pi} \int_{\theta=0}^{\pi} P(r, \theta, \varphi) r^2 \sin \theta d\theta d\varphi$

$$\Rightarrow P_0 = \frac{8\pi}{3} \frac{1}{4\epsilon c} \frac{l^2}{\lambda^2} I_0^2 \text{ et}$$

# Diagramme de rayonnement

$$G(\gamma, \theta, \phi) = \frac{\frac{3 \sin^2 \theta}{8\pi r^2} P_0}{\frac{1}{4\pi r^2} P_0} = \frac{3}{2} \sin^2 \theta$$



# Diagramme de rayonnement

D'une manière générale, le diagramme de rayonnement est composé

- d'un lobe principal d'ouverture  $\Omega$
- de lobes secondaires
- de lobes arrière

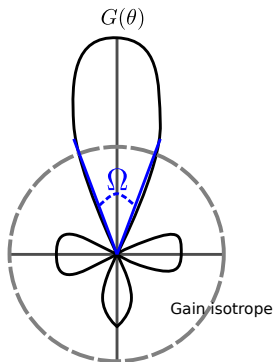
# Diagramme de rayonnement

D'une manière générale, le diagramme de rayonnement est composé

- d'un lobe principal d'ouverture  $\Omega$
- de lobes secondaires
- de lobes arrière

On a la règle de dimensionnement (admise) pour une antenne de dimension typique  $l$ ,

$$\Omega \propto \frac{\lambda}{l}$$



Entre deux antennes  $e$  et  $r$  écartées de  $R$ ,

$$P_{\text{reçue en } r} = P_{\text{émise en } e} \cdot \frac{G_e(\text{direction } e \text{ vers } r)}{4\pi r^2} S_r$$

avec  $S_r$  la surface équivalente du récepteur = surface physique corrigée pour prendre en compte les pertes.



Entre deux antennes  $e$  et  $r$  écartées de  $R$ ,

$$P_{\text{reçue en } r} = P_{\text{émise en } e} \cdot \frac{G_e(\text{direction } e \text{ vers } r)}{4\pi r^2} S_r$$

avec  $S_r$  la surface équivalente du récepteur = surface physique corrigée pour prendre en compte les pertes.

On a la relation (admise)  $S_r(\theta, \varphi) = \frac{\lambda^2}{4\pi} G_r(\theta, \varphi)$ .

Entre deux antennes  $e$  et  $r$  écartées de  $R$ ,

$$P_{\text{reçue en } r} = P_{\text{émise en } e} \cdot \frac{G_e(\text{direction } e \text{ vers } r)}{4\pi r^2} S_r$$

avec  $S_r$  la surface équivalente du récepteur = surface physique corrigée pour prendre en compte les pertes.

On a la relation (admise)  $S_r(\theta, \varphi) = \frac{\lambda^2}{4\pi} G_r(\theta, \varphi)$ .

Ce qui donne la **relation de Friis** :

$$P_{\text{reçue en } r} = P_{\text{émise en } e} \cdot \left( \frac{\lambda}{4\pi r} \right)^2 \cdot G_e(\text{direction } e \text{ vers } r) G_r(\text{direction } r \text{ vers } e)$$

# Radars

⇒ RAdio Detection And Ranging.

Système qui émet des signaux EM et analyse le signal retour pour inférer:

- l'existence,
- la distance,
- la direction,
- et la vitesses de potentielles cibles.

Principe physique : *rétrodiffusion* d'une onde EM par les cibles.

Radar monostatique: antenne émission = antenne réception



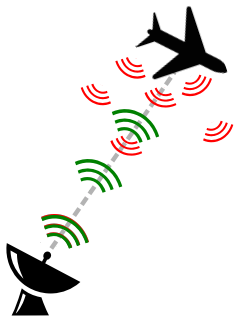
⇒ RAdio Detection And Ranging.

Système qui émet des signaux EM et analyse le signal retour pour inférer:

- l'existence,
- la distance,
- la direction,
- et la vitesses de potentielles cibles.

Principe physique : *rétrodiffusion* d'une onde EM par les cibles.

Radar monostatique: antenne émission = antenne réception



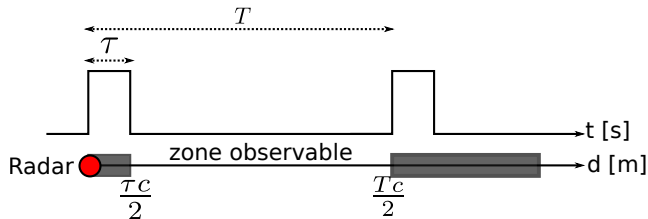
# Radars: mesure de distance

Signal émis = suite d'impulsions de fréquence  $f$ , de durée  $\tau$ , répétées tous les  $T$  ( $T$  = Période de Répétition des Impulsions).

Si cible à une distance  $r$ , temps retour:

$$\Delta t = \frac{2r}{c}$$

- zone d'ombre:  $r < 0.5\tau c$
- distance maximale:  $r < 0.5Tc$



Typiquement,  $f \simeq 1 - 10\text{GHz}$ ,  $\tau \simeq 1\mu\text{s}$ ,  $\frac{1}{T} \simeq 1 - 500\text{kHz}$ .

Choix de la fréquence par rapport à la dimension des cibles

Bilan similaire à l'équation de Friis.

Bilan similaire à l'équation de Friis.

Pour un radar monostatique et une cible à une distance  $r$ :

$$P(\text{retour}) = P(\text{émise}) \cdot \frac{G(\text{direction cible})}{4\pi r^2} \cdot S_e \cdot \frac{1}{4\pi r^2} \cdot \frac{G(\text{direction cible})\lambda^2}{4\pi}$$

avec  $S_e$  la surface équivalente de la cible.

Bilan similaire à l'équation de Friis.

Pour un radar monostatique et une cible à une distance  $r$ :

$$P(\text{retour}) = P(\text{émission}) \cdot \frac{G(\text{direction cible})}{4\pi r^2} \cdot S_e \cdot \frac{1}{4\pi r^2} \cdot \frac{G(\text{direction cible})\lambda^2}{4\pi}$$

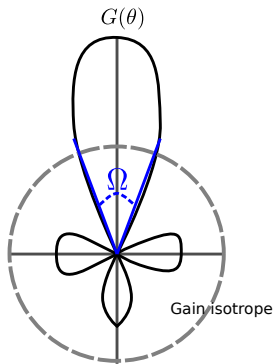
avec  $S_e$  la surface équivalente de la cible.

On retiendra  $P(\text{retour}) \propto \frac{P(\text{émission})}{r^4}$



En utilisant une antenne de lobe principal petit et en balayant l'espace:

- balayage mécanique
- balayage électronique (on en dira un peu plus plus tard)



# Radars: mesure de la vitesse

Effet Doppler: une antenne  $B$  émet un signal sinusoïdal de fréquence  $f$ :

$$s_B(t) = e^{2\pi i f t}.$$

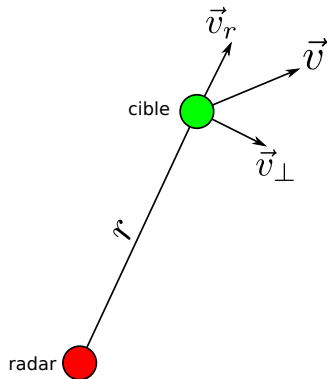
$B$  se déplace par rapport à un récepteur  $A$ :  $d_{A,B}(t) = d_0 + v_r t$ .

Le signal reçu en  $A$  s'écrit

$$s_A(t) = s_B\left(t - \frac{d(t)}{c}\right) \text{ soit}$$

$$s_A(t) = e^{2\pi i f \left(1 - \frac{v_r}{c}\right)t + \varphi_0}$$

⇒ Fréquence apparente:  $f \rightarrow f \pm f \frac{|v_r|}{c}$



Pour un radar, émission, écho, réception, la distance est doublée:

⇒ Fréquence apparente:  $f \rightarrow f \pm \delta f$ ,  $\delta f = 2f \frac{|v_r|}{c}$

Pour un radar, émission, écho, réception, la distance est doublée:

⇒ Fréquence apparente:  $f \rightarrow f \pm \delta f$ ,  $\delta f = 2f \frac{|v_r|}{c}$

Variation de phase entre deux échos:  $\Delta\varphi = \delta f T = 2 \frac{v_r f T}{c}$

Vitesse maximale :  $\Delta\varphi = 2\pi \Rightarrow v_r = \frac{\pi c}{fT}$

Pour un radar, émission, écho, réception, la distance est doublée:

⇒ Fréquence apparente:  $f \rightarrow f \pm \delta f$ ,  $\delta f = 2f \frac{|v_r|}{c}$

Variation de phase entre deux échos:  $\Delta\varphi = \delta f T = 2 \frac{v_r f T}{c}$

Vitesse maximale :  $\Delta\varphi = 2\pi \Rightarrow v_r = \frac{\pi c}{f T}$

$T$	$f$	$v_r$	$\delta f$	$\delta f T$
$10\mu s$	1 GHz	100 km/h	185 Hz	0.0018
1ms	10 GHz	1000 km/h	18 kHz	18

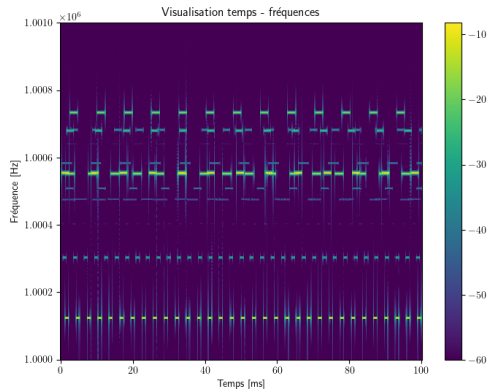
- Fréquence: dimension des cibles, ouverture, dimension du radar.
- PRI: distance typique des cibles recherchées
- Longueur d'impulsion: probabilité de détection sous contrainte de puissance
- Discrétion: limiter la puissance émise ou la diluer (sauts de fréquence)
- Robustesse: Différentes valeurs de PRI alternées.
- Radars multi-modes: peuvent se reconfigurer pour différents types de situation:
- et de nombreuses contraintes mécaniques et électroniques

# Guerre électronique

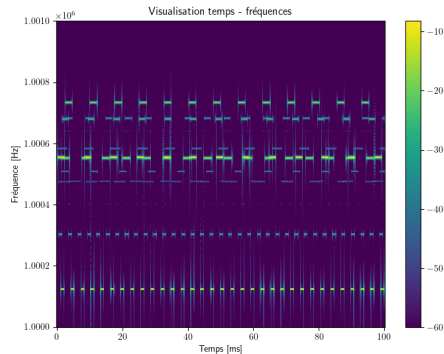
Rétroingénierie passive d'une scène électromagnétique.

A partir d'un enregistrement, inférer les éléments constituant la scène.

SIGnal INTelligence = ELectronic INTelligence  $\cup$  COMmunications INTelligence



- Détecter du signal
- Caractérisation bas niveau du signal
- Désentrelacer / séparer plusieurs signaux
- Regrouper des morceaux de signaux cohérents
- Caractérisation haut niveau du Signal
- Identifier les signaux
- Pister les signaux dans le temps
- Mettre en relation les différents signaux issus de différents capteurs





Objectif : détecter la direction d'arrivée d'un signal.

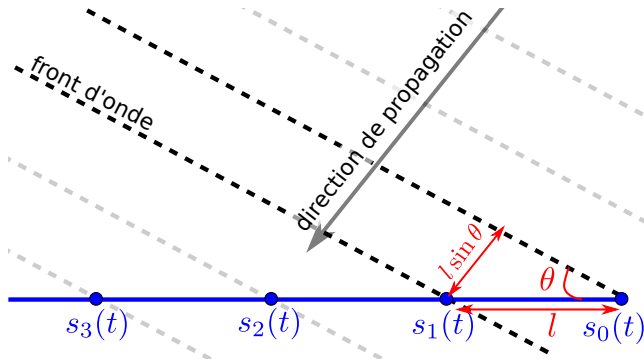
Méthode : mettre en place un réseau de plusieurs capteurs et analyser les différences de phase des signaux sur les différents capteur pour inférer la direction d'arrivée.

# Localisation passive par réseau d'antennes

Réseau de capteur =  $N$  antennes  $s_i$  alignées, régulièrement espacées de  $l$ .

Une onde  $x$ , de fréquence  $f$ ,  $s(t) = e^{2\pi i f t}$  arrive sur le réseau avec un angle  $\theta_0$ .

$$\forall i, s_i(t) = s_0(t) \cdot e^{-2\pi i \frac{f l i \sin \theta_0}{c}}$$



On note  $S(t) = \begin{pmatrix} s_0(t) \\ \vdots \\ s_{N-1}(t) \end{pmatrix}$  et le *steering vector*:  $A(\theta) = \begin{pmatrix} 1 \\ e^{-2\pi i \frac{fl \sin \theta}{c}} \\ \vdots \\ e^{-2\pi i \frac{fl(N-1) \sin \theta}{c}} \end{pmatrix}$ .

On note  $S(t) = \begin{pmatrix} s_0(t) \\ \vdots \\ s_{N-1}(t) \end{pmatrix}$  et le *steering vector*:  $A(\theta) = \begin{pmatrix} 1 \\ e^{-2\pi i \frac{fl \sin \theta}{c}} \\ \vdots \\ e^{-2\pi i \frac{fl(N-1) \sin \theta}{c}} \end{pmatrix}$ .

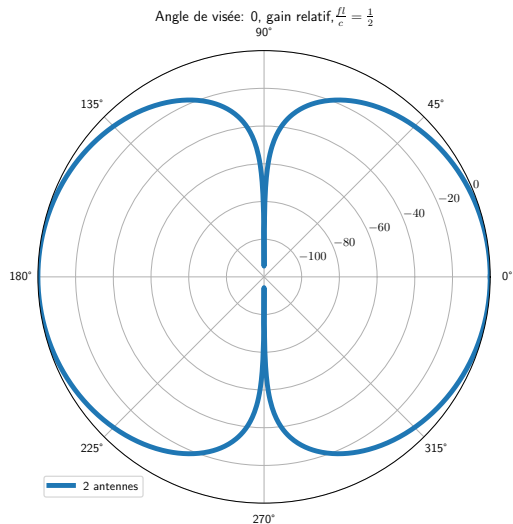
On a  $S(t) = s(t)A(\theta_0)$

On note  $S(t) = \begin{pmatrix} s_0(t) \\ \vdots \\ s_{N-1}(t) \end{pmatrix}$  et le *steering vector*:  $A(\theta) = \begin{pmatrix} 1 \\ e^{-2\pi i \frac{fl \sin \theta}{c}} \\ \vdots \\ e^{-2\pi i \frac{fl(N-1) \sin \theta}{c}} \end{pmatrix}$ .

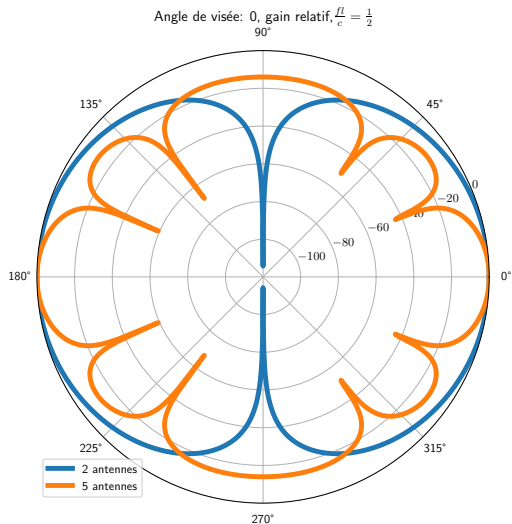
On a  $S(t) = s(t)A(\theta_0)$

$\Rightarrow \int |\langle A(\theta), S(t) \rangle|^2 dt$  est maximal pour  $\theta = \theta_0$

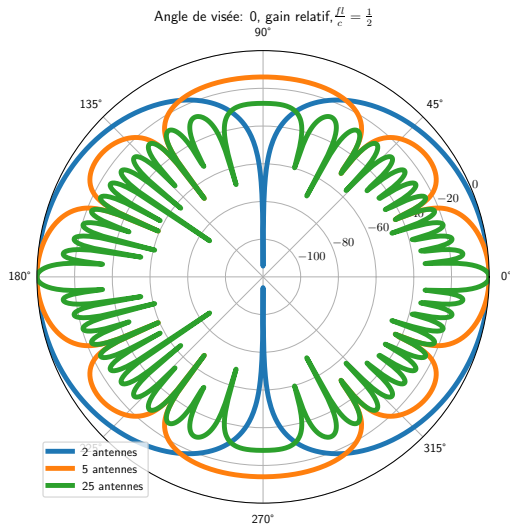
# Localisation passive par réseau d'antennes



# Localisation passive par réseau d'antennes

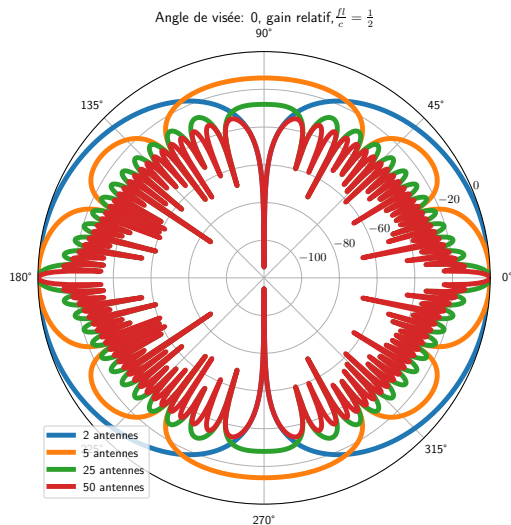


# Localisation passive par réseau d'antennes





# Localisation passive par réseau d'antennes



# Localisation passive par réseau d'antennes

